

10,07

## Эффект экранирования дислокационным ансамблем упругого поля дисклинации, расположенной на границе двух полупространств

© Г.Ф. Сарафанов<sup>1</sup>, Ю.Г. Шондин<sup>2</sup>

<sup>1</sup> Нижегородский филиал Института машиноведения им. А.А.Благонравова РАН, Нижний Новгород, Россия

<sup>2</sup> Нижегородский педагогический государственный университет, Нижний Новгород, Россия

E-mail: gf.sarafanov@yandex.ru

(Поступила в Редакцию 8 февраля 2012 г.  
В окончательной редакции 16 апреля 2012 г.)

Рассмотрена самосогласованная динамика дислокационного ансамбля в упругом поле дисклинации, расположенной на границе двух полупространств, для двух случаев: полупространств с разной плотностью подвижных дислокаций и бикристалла, где в одном полупространстве отсутствуют дислокации. Проведен расчет упругой энергии  $W$  экранированной дислокационным ансамблем дисклинации в зоне, имеющей форму прямоугольника, centered относительно дисклинации. Показано, что  $W$  увеличивается как  $\sim \sqrt{R}$  ( $R$  — поперечный размер зоны в пластически деформируемом полупространстве).

Работа выполнена при финансовой поддержке РФФИ (грант № 10-02-00508-а).

### 1. Введение

Как показано в работах [1,2], в процессе пластического течения в границах и стыках зерен образуются дефекты ротационного типа — дисклинации, играющие важнейшую роль в дальнейшей эволюции структуры деформируемых поликристаллов. Своими дальнедействующими полями напряжений они модулируют поток решеточных дислокаций, вызывая расслоение их однородного распределения и порождая в прилегающих объемах зерен оборванные дислокационные субграницы, а также более сложные дислокационные образования (мезодефекты ротационного типа) [3,4].

Важно подчеркнуть, что как зарождение, так и движение оборванных субграниц в глубь зерна происходят в результате коллективного движения дислокаций. Поэтому при расчете упругих полей и энергии формирующихся дисклинационных конфигураций необходимо учитывать вклад окружающих дислокаций, перераспределение которых в упругом поле дисклинаций способно, как было показано в [5], существенно понизить общую упругую энергию системы. В [5,6] исходная краевая задача была сформулирована для функции напряжений Эйри  $\psi(\mathbf{r})$ , которая, будучи определенной во всем пространстве, удовлетворяет бигармоническому уравнению

$$\Delta^2 \psi(\mathbf{r}) = -4r_d^{-2} \frac{\partial^2}{\partial y^2} \psi(\mathbf{r}) + 4\pi D \omega \delta(\mathbf{r}), \quad (1)$$

в котором первое слагаемое в правой части является распределенным в пространстве дислокационным источником упругого поля, самосогласованно связанным с функцией  $\psi(\mathbf{r})$ , а второе — дисклинационным источником. При этом дислокации, формирующие пластическую зону, характеризуются плотностью  $\rho_a(\mathbf{r}, t)$ , вектором

Бюргерса  $\mathbf{b}_a$  в направлении скольжения дислокаций  $0x$  ( $\mathbf{b}_a \parallel \mathbf{e}_x$ ) и обладают нулевым суммарным вектором Бюргерса [7]. Здесь  $a$  — индекс, принимающий значение плюс или минус и характеризующий дислокацию с соответствующим знаком модуля вектора Бюргерса ( $b_a = \pm b$ ).

Проведенный в [5,8] анализ экранировки упругого поля клиновидной дисклинации системой дислокаций в случае бесконечно протяженного пластически деформируемого кристалла показал, что упругая энергия такой системы в области размера  $R$  определяется выражением

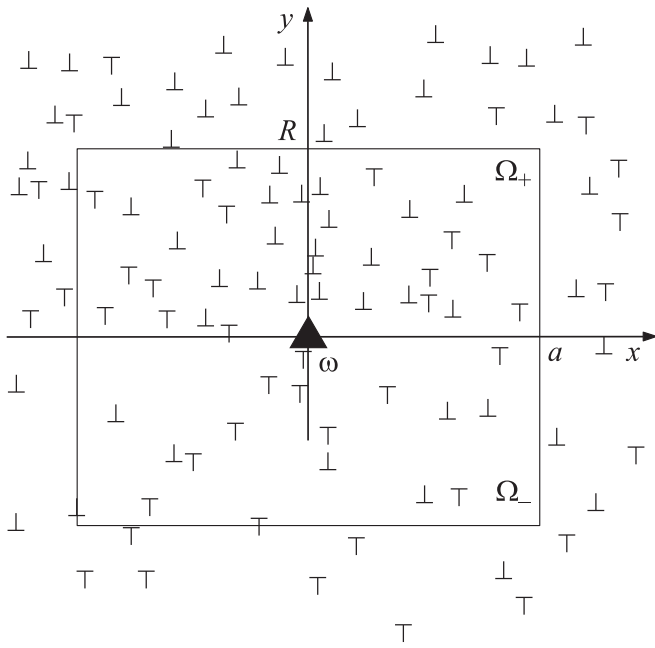
$$W = \frac{\sqrt{\pi}}{4} D \omega^2 r_d^2 \sqrt{\frac{R}{r_d}}, \quad (2)$$

где  $r_d$  — радиус экранирования упругого поля [5,7],  $D = G/2\pi(1-\nu)$ ,  $\omega$  — мощность дисклинации,  $G$  — модуль сдвига,  $\nu$  — коэффициент Пуассона.

Настоящая работа посвящена обобщению результатов работ [5,8] на случай, когда дисклинация расположена на границе двух полупространств, для двух вариантов: полупространств с разной плотностью подвижных дислокаций и бикристалла, где в одном полупространстве отсутствуют дислокации.

### 2. Эффект экранирования упругого поля дисклинации, расположенной на границе двух пластически деформированных полупространств с разной плотностью подвижных дислокаций

Здесь рассматривается эффект экранирования упругого поля дисклинации, расположенной на границе двух



**Рис. 1.** Две смежные области одной системы скольжения с разными радиусами экранирования ( $r_1, r_2 < \infty$ ), на границе которых расположена дисклинация мощности  $\omega$ .

полупространств (рис. 1), характеризующихся различными параметрами радиуса экранирования  $r_d$  ( $r_1$  и  $r_2$ ). Физически это обусловлено тем, что плотность подвижных дислокаций в двух смежных областях различна [7,8].

Рассматриваемая граничная задача сопряжения определяется уравнениями [6]

$$\Delta^2 \psi_+(x, y) = 4\beta_1^2 \frac{\partial^2}{\partial y^2} \psi_+(x, y) + \gamma \delta(x) \delta(y), \quad y > 0,$$

$$\Delta^2 \psi_-(x, y) = 4\beta_2^2 \frac{\partial^2}{\partial y^2} \psi_-(x, y), \quad y < 0 \quad (3)$$

и условиями сшивки на границе  $y = 0$

$$\frac{\partial^j}{\partial y^j} \psi_+(x, y)|_{y=0} = \frac{\partial^j}{\partial y^j} \psi_-(x, y)|_{y=0}, \quad j = 0, 1, 2, 3. \quad (4)$$

Здесь введены следующие обозначения:  $\beta_i = \frac{1}{r_i}$  ( $i = 1, 2$ ),  $\gamma = 4\pi D\omega$ .

Решаем задачу (3), (4) методом преобразования Фурье по  $x$

$$\tilde{\psi}_{\pm}(k, y) = \int e^{-ikx} \psi_{\pm}(x, y) dx,$$

тогда (3) преобразуется к виду

$$\left( \frac{\partial^2}{\partial y^2} - k^2 \right)^2 \tilde{\psi}_+(x, y) = 4\beta_1^2 \frac{\partial^2}{\partial y^2} \tilde{\psi}_+(x, y) + \gamma \delta(y - y_0), \quad y > 0,$$

$$\left( \frac{\partial^2}{\partial y^2} - k^2 \right)^2 \tilde{\psi}_-(x, y) = 4\beta_2^2 \frac{\partial^2}{\partial y^2} \tilde{\psi}_-(x, y), \quad y < 0. \quad (5)$$

Определим числа  $\lambda_i$  и  $\mu_i$  ( $i = 1, 2$ ) по формулам

$$\lambda_{1,2} = \pm \beta_1 - \sqrt{k^2 + \beta_1^2}, \quad \mu_{1,2} = \pm \beta_2 + \sqrt{k^2 + \beta_2^2}.$$

Решения исходной краевой задачи (3), (4) получаются из найденных функций  $\tilde{\psi}_{\pm}(k, y)$  с помощью обратного преобразования Фурье

$$\psi_{\pm}(x, y) = \frac{1}{2\pi} \int e^{ikx} \tilde{\psi}_{\pm}(k, y) dk.$$

Далее нас будет интересовать поведение  $\psi_{\pm}(x, y)$  и ее производных при больших значениях аргументов. Такое поведение вполне определяется поведением Фурье-компонент  $\tilde{\psi}_{\pm}(k, y)$  при  $k \rightarrow 0$ .

В этом случае выражения для  $\tilde{\psi}_{\pm}$  можно представить как

$$\tilde{\psi}_+(k, y) = \psi_+^1(k) e^{\lambda_1 y} + \psi_+^2(k) e^{\lambda_2 y}, \quad y > 0, \quad (6)$$

$$\tilde{\psi}_-(k, y) = \varphi_-^1(k) e^{\mu_1 y} + \varphi_-^2(k) e^{\mu_2 y}, \quad y < 0, \quad (7)$$

где

$$\psi_+^1(k) \sim \frac{\gamma}{2(\beta_1 + \beta_2)k^2}, \quad \psi_+^2(k) = O(1), \quad (8)$$

т.е. функция  $\psi_+^1(k)$  сингулярна, а  $\psi_+^2(k)$  регулярна в точке  $k = 0$ .

В выражении (7) сингулярной при  $k = 0$  будет функция  $\varphi_-^2(k)$ , а  $\varphi_-^1(k)$  — регулярной:

$$\varphi_-^1(k) = O(1), \quad \varphi_-^2(k) \sim \frac{\gamma}{2(\beta_1 + \beta_2)k^2}. \quad (9)$$

Отсюда, в частности, следует, что функции  $\partial \psi_{\pm}(x, y) / \partial y$  при фиксированном  $y$  экспоненциально убывают при  $|x| \rightarrow \infty$ ; при фиксированном  $x$  ведут себя как  $O(\frac{1}{\sqrt{y}})$  при  $|y| \gg \{r_1, r_2\}$ .

Далее произведем вычисление энергии упругого поля области кристалла в виде выбранного прямоугольника  $\Omega = \left\{ \begin{matrix} -a \leq x \leq a \\ -R \leq y \leq R \end{matrix} \right\}$  и  $\Omega_+ = \Omega|_{y>0}$ ,  $\Omega_- = \Omega|_{y<0}$  (рис. 1).

Используем выражение для энергии упругого поля в виде [9]

$$W = \frac{1}{2G} \iint_{\Omega} (\sigma_{xy}^2 - \sigma_{xx} \sigma_{yy}) dx dy + \frac{1-\nu}{4G} \iint_{\Omega} (\sigma_{xx} + \sigma_{yy})^2 dx dy, \quad (10)$$

где компоненты тензора напряжений определяются согласно формулам [9]

$$\sigma_{xy} = -\frac{\partial^2 \psi}{\partial x \partial y}, \quad \sigma_{xx} = \frac{\partial^2 \psi}{\partial y^2}, \quad \sigma_{yy} = \frac{\partial^2 \psi}{\partial x^2}.$$

Первое слагаемое с помощью интегрирования по частям приводится к сумме интегралов по сторонам

прямоугольной области

$$\begin{aligned}
 W_{gr} &\equiv \frac{1}{2G} \iint_{\Omega} \left( \left( \frac{\partial^2 \psi}{\partial x \partial y} \right)^2 - \frac{\partial^2 \psi}{\partial y^2} \frac{\partial^2 \psi}{\partial x^2} \right) dx dy \\
 &= \frac{1}{2G} \int_{-R}^R \left( \frac{\partial^2 \psi}{\partial x \partial y} \frac{\partial \psi}{\partial y} \right) \Big|_{x=-a}^{x=a} dy \\
 &\quad - \frac{1}{2G} \int_{-a}^a \left( \frac{\partial^2 \psi}{\partial x^2} \frac{\partial \psi}{\partial y} \right) \Big|_{y=-R}^{y=R} dx. \tag{11}
 \end{aligned}$$

В результате формула для энергии принимает следующий вид:

$$W = W_{gr} + \frac{1-\nu}{4G} \iint_{\Omega} (\Delta \psi(x, y))^2 dx dy. \tag{12}$$

При  $a, R \gg r_1, r_2$  первое слагаемое  $W_{gr}$ , согласно (11), оценивается как

$$W_{gr} = \text{const} + O\left(\frac{1}{\sqrt{R}}\right),$$

а второе слагаемое в (12) — как

$$\begin{aligned}
 \frac{1-\nu}{4G} \iint_{\Omega} (\Delta \psi(x, y))^2 dx dy &\sim \frac{\sqrt{\pi}}{2} \frac{\sqrt{r_1} + \sqrt{r_2}}{(r_1 + r_2)^2} \\
 &\times (r_1 r_2)^{3/2} D \omega^2 \sqrt{R}. \tag{13}
 \end{aligned}$$

Здесь при вычислениях использовался метод преобразований Фурье с учетом полученных выше асимптотик для функций  $\psi_{\pm}(k, y)$  (8), (9).

Следовательно, при достаточно больших  $a$  и  $R$  основной вклад в энергию дисклинации вносит второе слагаемое в (10), и

$$W \simeq \frac{\sqrt{\pi}}{2} \frac{\sqrt{r_1} + \sqrt{r_2}}{(r_1 + r_2)^2} (r_1 r_2)^{3/2} D \omega^2 \sqrt{R}. \tag{14}$$

Здесь  $R$  — поперечный размер деформируемых областей вдоль оси  $x$ .

Рассмотрим интересный факт: при  $r_1 = r_2 = r_d$  формула (14) переходит в формулу (2), полученную непосредственным интегрированием точного выражения плотности упругой энергии экранированной дисклинации для круговой области пластической зоны. Тот факт, что конечный результат справедлив как для круга радиуса  $R$ , так и для данного случая с характерным поперечным размером пластических областей  $R$ , указывает на то, что имеет место сильное экранирование в направлении скольжения дислокаций. Поэтому зависимость энергии  $W$  при  $a \gg r_d$  не проявляется.

### 3. Эффект экранирования упругого поля дисклинации, расположенной на границе зерна в бикристалле

В предыдущем разделе обсуждался случай экранирования упругого поля дисклинации дислокационным ансамблем, характеризующимся различными параметрами

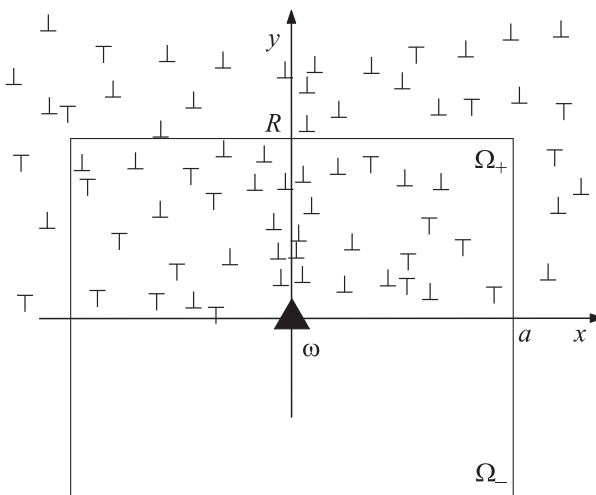


Рис. 2. Бикристалл, состоящий из упругой области ( $y < 0$ ) и пластически деформированной области ( $y > 0$ ). В бикристалле на межкуристаллитной границе расположена дисклинация мощности  $\omega$ .

рами радиуса экранирования  $r_d$  ( $r_1$  и  $r_2$ ) для двух смежных областей. Здесь рассматривается более специальный случай, когда  $r_2 = \infty$ , т.е. когда в одной из смежных областей имеется лишь упругое поле. В такой постановке мы имеем в общем случае бикристалл, в котором пластическая деформация развивается вдоль межкуристаллитной границы (рис. 2). Требуется определить, как сказывается пластическая деформация в одном из зерен на энергии упругого поля бикристалла в целом и кристаллитов в отдельности.

Итак, по-прежнему  $\gamma = 4\pi D \omega$ , но теперь  $\beta_1 = \frac{1}{r_1} = \frac{1}{r_d}$ ,  $\beta_2 = \frac{1}{r_2} = 0$ .

Тогда граничная задача сопряжения определяется уравнениями

$$\begin{aligned}
 \Delta^2 \psi_+(x, y) &= 4\beta_1^2 \frac{\partial^2}{\partial y^2} \psi_+(x, y) + \gamma \delta(x) \delta(y), \quad y > 0, \\
 \Delta^2 \psi_-(x, y) &= 0, \quad y < 0
 \end{aligned} \tag{15}$$

и граничными условиями сшивки на границе  $y = 0$  (4).

Как и в предыдущем случае, решаем задачу методом преобразования Фурье по  $x$

$$\tilde{\psi}_{\pm}(k, y) = \int e^{-ikx} \psi_{\pm}(x, y) dx,$$

тогда (15) преобразуется к виду

$$\begin{aligned}
 \left( \frac{\partial^2}{\partial y^2} - k^2 \right)^2 \tilde{\psi}_+(x, y) &= 4\beta_1^2 \frac{\partial^2}{\partial y^2} \tilde{\psi}_+(x, y) \\
 &+ \gamma \delta(y - y_0), \quad y > 0, \\
 \left( \frac{\partial^2}{\partial y^2} - k^2 \right)^2 \tilde{\psi}_-(x, y) &= 0, \quad y < 0.
 \end{aligned} \tag{16}$$

Определим, как и в предыдущей задаче, собственные числа

$$\lambda_{1,2} = \pm\beta_1 - \sqrt{k^2 + \beta_1^2}.$$

Решения исходной граничной задачи (15), получаются из найденных функций  $\tilde{\psi}_{\pm}(k, y)$  с помощью обратного преобразования Фурье

$$\psi_{\pm}(x, y) = \frac{1}{2\pi} \int e^{ikx} \tilde{\psi}_{\pm}(k, y) dk.$$

Рассмотрим поведение функций  $\tilde{\psi}_{\pm}(k, y)$  при  $k \rightarrow 0$ . В этом случае эти функции удовлетворяют уравнениям

$$\tilde{\psi}_+(k, y) = \psi_+^1(k)e^{\lambda_1 y} + \psi_+^2(k)e^{\lambda_2 y}, \quad y > 0, \quad (17)$$

$$\tilde{\psi}_-(k, y) = \varphi_-^1(k)e^{\mu_1 y} + \varphi_-^2(k)e^{\mu_2 y}, \quad y < 0, \quad (18)$$

где

$$\psi_+^1(k) \sim \frac{\gamma}{2\beta_1 k^2}, \quad \psi_+^2(k) = O(1), \quad (19)$$

т.е. функция  $\psi_+^1(k)$  — сингулярна, а  $\psi_+^2(k)$  регулярна при  $k \rightarrow 0$ .

В выражении (18) функции  $\varphi_{-1,2}(k)$  при  $k \rightarrow 0$  ведут себя следующим образом:

$$\varphi_-^1(k) \sim \frac{\gamma}{2\beta_1 k^2}, \quad \varphi_-^2(k) \sim -\frac{\gamma}{2\beta_1 |k|}. \quad (20)$$

Из (19) и (20) следует, что  $\partial\tilde{\psi}_{\pm}(k, y)/\partial y$  — непрерывные и непрерывно-дифференцируемые по  $k$  функции. Отсюда, совершая преобразования Фурье, получаем, что функция  $\partial\psi_+(x, y)/\partial y$  при фиксированном  $y$  убывает при  $|x| \rightarrow \infty$  по крайней мере как  $|x|^{-1}$ , а при фиксированном  $x$  ведет себя как  $O(y^{-1/2})$  при  $|y| \gg \{r_1\}$ . Функция  $\partial\psi_-(x, y)/\partial y$  при фиксированном  $y$  убывает при  $|x| \rightarrow \infty$  по крайней мере как  $|x|^{-1}$ , а при фиксированном  $x$  ведет себя как  $O(1)$  при  $|y| \gg \{r_1\}$ .

Проведем вычисление энергии упругого поля области бикристалла в виде прямоугольника (рис. 2) аналогично предыдущему случаю.

Воспользуемся формулой (12) и оценим сначала вклад „объемной энергии“, описываемой вторым слагаемым. Соответствующий интеграл по прямоугольнику  $\Omega$  разбиваем на сумму двух интегралов по прямоугольникам  $\Omega_{\pm}$ . Интеграл по  $\Omega_+$  оценивается, как и в рассмотренной выше задаче (см. (13) формулу), только теперь мы учитываем, что  $r_2 = \infty$ , и получаем при  $a, R \gg r_1$

$$\frac{1-\nu}{4G} \iint_{\Omega_+} (\Delta\psi(x, y))^2 dx dy \sim \frac{\sqrt{\pi}}{2} r_1^{3/2} D\omega^2 \sqrt{R}. \quad (21)$$

Для аналогичного интеграла по прямоугольнику  $\Omega_-$  в асимптотической области получаем

$$\frac{1-\nu}{4G} \iint_{\Omega_-} (\Delta\psi(x, y))^2 dx dy \sim D\omega^2 r_1^2 \ln \frac{R}{r_1} + O(1). \quad (22)$$

Таким образом, при  $a, R \gg r_1$  второе слагаемое в (12) представляет собой сумму выражений (21) и (22), из которых основной вклад вносит интеграл по области  $\Omega_+$ . Слагаемое  $W_{gr}$  в выражении для энергии (12) вычисляется по формуле (11). В этой формуле вклад интегралов в верхней полуплоскости оценивается как

$$W_{gr}(y > 0) = \text{const} + O\left(\frac{1}{\sqrt{R}}\right).$$

Вклады соответствующих интегралов в нижней полуплоскости при условии  $a, R \gg r_1$  и  $\frac{R}{a} = \text{const}$  оценива-

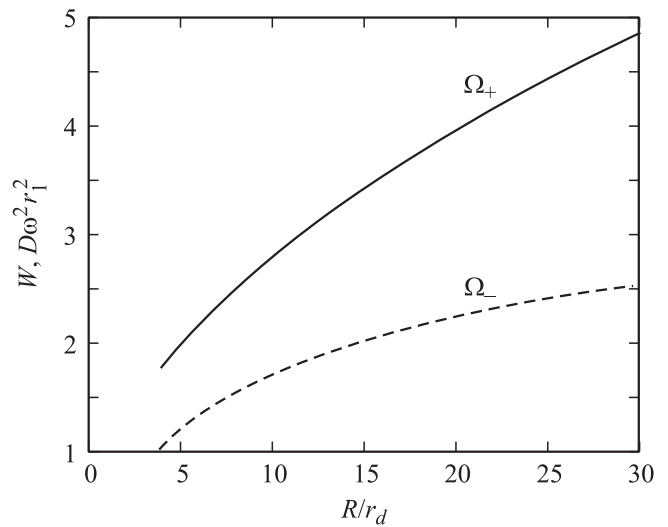


Рис. 3. Зависимость упругой энергии для верхней пластически деформируемой области  $\Omega_+$  и упругой области  $\Omega_-$  от величины  $R/r_d$ .

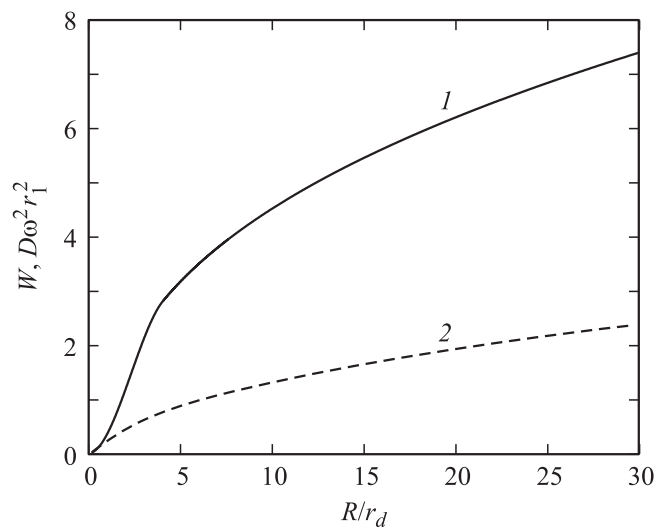


Рис. 4. Зависимость упругой энергии бикристалла для всей области прямоугольника  $\Omega$  (включающего подобласти верхней  $\Omega_+$  и нижней  $\Omega_-$  его половины) (1) и зависимость энергии однородно пластически деформируемого прямоугольника той же геометрии (2) от величины  $R/r_d$ .

ются следующим образом:

$$\begin{aligned} \frac{1}{2G} \int_{-a}^a \left( \frac{\partial^2 \psi}{\partial x^2} \frac{\partial \psi}{\partial y} \right) \Big|_{y=-R} dx &= O(1), \\ \frac{1}{2G} \int_{-R}^0 \left( \frac{\partial^2 \psi}{\partial x \partial y} \frac{\partial \psi}{\partial y} \right) \Big|_{x=-a}^{x=a} dy &= -\frac{D\omega^2 r_1^2}{\pi(1-\nu)} \\ &\times \frac{a}{R(1+a^2/R^2)^3} \ln \frac{R}{r_1} + O(1). \end{aligned} \quad (23)$$

Отсюда асимптотика слагаемого  $W_{gr}$  в выражении для энергии определяется в основном логарифмической зависимостью

$$W_{gr} = -\frac{D\omega^2 r_1^2}{\pi(1-\nu)} \frac{a}{R(1+a^2/R^2)^3} \ln \frac{R}{r_1} + O(1). \quad (24)$$

Заметим, что  $\frac{a}{R(1+a^2/R^2)^3} \leq \frac{1}{2}$ ; следовательно, коэффициент перед логарифмом в (24) не превышает величины  $\frac{D\omega^2 r_1^2}{2\pi(1-\nu)}$ , т.е. примерно в 4 раза меньше соответствующего вклада от нижней полуплоскости в „объемную энергию“. Из приведенных формул следует, что при  $a, R \gg r_1$  и  $a \sim R$  основной вклад в энергию дисклинации вносит второе слагаемое (10), а с учетом граничных эффектов в итоге имеем

$$W = W|_{\Omega_+} + W|_{\Omega_-} \simeq \frac{\sqrt{\pi}}{2} D\omega^2 r_1^2 \sqrt{\frac{R}{r_1}} + \frac{3}{4} D\omega^2 r_1^2 \ln \frac{R}{r_1}. \quad (25)$$

Зависимости упругой энергии от размера  $R$ , нормированного на величину радиуса экранирования  $r_d$ , в областях бикристалла показаны на рис. 3 и 4.

Зависимость упругой энергии бикристалла от  $R$  (рис. 4) построена путем сшивки двух асимптотик, найденных при  $R \ll r_d$  и  $R \gg r_d$ .

## 4. Выводы

Во-первых, показано, что упругое поле недеформированной области бикристалла эффективно экранируется пластической деформацией, протекающей в соседнем зерне (рис. 3).

Во-вторых, сравнивая энергию упругого поля бикристалла (рис. 4) и упругую энергию однородно пластически деформируемого прямоугольника той же геометрии с дисклинацией в центре области, можно заметить, что энергия экранированной дисклинации в бикристалле с одним недеформированным зерном примерно в 3 раза превышает энергию деформированного кристалла того же поперечного размера. Этот факт можно использовать для оценок.

## Список литературы

[1] В.В. Рыбин. Большие пластические деформации и разрушение металлов. Металлургия, М. (1986). 224 с.

- [2] В.В. Рыбин, А.А. Зисман, Н.Ю. Золоторевский. ФТТ **27**, 181 (1985).  
 [3] В.И. Владимиров, А.Е. Романов. Дисклинации в кристаллах. Л. (1986). 224 с.  
 [4] D.A. Hughes, N. Hansen. Acta. Mater. **45**, 3871 (1997).  
 [5] Г.Ф. Сарафанов, В.Н. Перевезенцев. Письма в ЖТФ **31**, 21, 73 (2005).  
 [6] Г.Ф. Сарафанов, В.Н. Перевезенцев. Письма в ЖТФ **32**, 18, 35 (2006).  
 [7] Г.Ф. Сарафанов, В.Н. Перевезенцев. ФТТ **39**, 1575 (2007).  
 [8] Г.Ф. Сарафанов, В.Н. Перевезенцев. ФТТ **49**, 1780 (1997).  
 [9] Дж. Хирт, И. Лоте. Теория дислокаций. Атомиздат, М. (1972). 599 с.